

МІНІСТЕРСТВО ОХОРОНИ ЗДОРОВ'Я УКРАЇНИ

НАУКОВО-ПРАКТИЧНИЙ ЖУРНАЛ

УКРАЇНСЬКИЙ МОРФОЛОГІЧНИЙ АЛЬМАНАХ

Заснований у 2003 році



Том 8

3

Луганський державний медичний університет – 2010

Науменко А.Ю., Погребной О.В., Винник А.А. Рентгеноформетрические характеристики дистального эпиметафиза лучевой кости при переломах в классическом месте	9
Плеханова К.А., Мостовой С.О., Пикалюк В.С., Белкина Ю.В. Адаптивные возможности регенераторов нижних челюстей нелинейных белых крыс I и 4 поколения, родившихся от самок, подверженных свинцововой интоксикации, и испытывавших на протяжении всей жизни отравление ацетатом свинца в дозе 100 мг/кг	98
Погорелов М.В. Биомеханические свойства травмированных костей щуров разного возраста в условиях гипоосмолярной гипергидратации	104
Попандонуло А.Г., Буша В.В., Оксимец В.М. Приоритетные клеточные пулы, участвующие в остеопарации при различной интенсивности травмирующего агента	108
Попандонуло А. Г., Оберемко А. В., Оксимец В. М. Використання біоматеріалу «остеоматрикс» для створення остеопротезного транспланта	111
Прозоровский Д.В. Оценка результатов хирургического лечения деформаций переднего отдела стопы	114
Прочан В.Н. Функциональное состояние проксимального эпифизарного хряща плечевой кости у белых крыс различного возраста при нанесении дырчатого дефекта большеберцовой кости	117
Родюнова Н.В., Нестеренко О.М., Дзюбенко Н.В. Особливості колонієутворення та диференціювання стромальних клітин кісткового мозку щуров за умов <i>in vitro</i> при модельованій мікрогравітації	122
Рой І.В., Калашников А.В., Малик В.Д. Реабілітація хворих із діафізарними переломами кісток гомілки після блокуючого інтраедулярного остеосинтезу	125
Романюк А.М., Кузенко Є.В. Зміни мікроелементного складу емалі щуров в умовах модельованого мікрослементозу	128
Салютін Р.В. Гистологічні та імуногістохімічні особливості диференціювання гемопоєтичних стовбурових клітин фетальної печінки за різних умов експериментальної клітинної трансплантації	129
Сікора В.З., Погорелов М.В., Ткач Г.Ф., Бумейстер В.І., Пришляк А.М. Біохімічні показники крові щуров різного віку до і після остеотомії за умов гіпоосмолярної гіпергідратації	133
Соколова И.И., Томилина Т.В., Воропаева А.В., Скидан К.В., Герман С.И. Клинические результаты применения стимулятора reparативного остеогенеза в комплексном лечении генерализованного пародонтита	137
Стрій В.В., Лузин В.И. Фазовый состав минералов тазовой кости при имплантации в большеберцовую кость биогенного гидроксиапатита, насыщенного медью	139
Тополенко Т.А. Морфофункциональные особенности формирования симметричных каналов щуров после введения женских половых гормонов в другому и третьему периодах взрослости	142
Траверсе Г.М., Зюзина А.С., Дудченко Т.Н. Физическое развитие преждевременно родившихся детей на первом году жизни в зависимости от обогащения рациона питания матери йодом в период кормления грудью	145
Філіпчук В. В Диференційоване застосування доступів для усунення феморо-ацетабуллярного конфлікту резекційною остеохондропластикою	148
Черкасов В.Г., Дзвевульська І.В., Ковальчук О.І. Стан гемомікроциркуляторного русла слизової оболонки шлунка щуров під дією метилтретбутилового ефіру	149
Шевченко В.Т., Гончарова Л.Д. Состояние нормальной микрофлоры слизистых зева и носа у детей с болезнью Легг-Кальве-Пертеса	153
Шерстюк О.А., Свиницкая Н.Л., Пилогин А.В. Исследование стroma, паренхимы и их взаимоотношений в малых слюнных железах человека	156
Шимон В.М., Василинець М.М., Палінкаш А.М., Голубка І.М., Петейчук В.В. Вертебропластика при пухлинах тіл хребців	158
Шимон В.М., Гайович В.І., Пічкар І.Й., Ламбрех І.М., Матічин Ю.М., Гелета М.М., Пушкаш І.І. Діагностика та лікування проникаючих переломів тіл грудних і поперековоїх хребців	160
Шимон В.М., Пічкар І.Й., Пантьо В.І. Лазерна вапоризація м'якіх хребцевих диска в кількох рівнях	162
Шимон В.М., Шерегій А.А. Диференційований підхід до остеогенної активності трансплантованих клітин кісткового мозку в дефект стегнової кістки щуров різного віку	164
КОРОТКІ ПОВІДОМЛЕННЯ	166
Андреева И. В., Федченко С. Н. Анатомическая изменчивость толщины костей свода черепа человека	166
Астраханцев Д.А., Солинская М.В., Морозов В.Н., Голубков П.Э. Минерализация нижней челюсти белых крыс при имплантации в большеберцовую кость биогенного гидроксиапатита	166
Баскевич О.В., Левицкий В.А. Морфометрические показатели складовых частей нирковых тканей у щуров разного возраста в норме	167
Белокобильская Д.В. Изменения микрогемодинамики под влиянием атоксилы и кверцетина в лечении больных пептической язвой двенадцатiperстной кишки в сочетании с гипертонической болезнью	168

УДК 611.018.4:577.118
© Погорелов М.В., 2010

БІОМЕХАНІЧНІ ВЛАСТИВОСТІ ТРАВМОВАНИХ КІСТОК ЩУРІВ РІЗНОГО ВІКУ В УМОВАХ ГІПООСМОЛЯРНОЇ ГІПЕРГІДРІЇ

Погорелов М.В.

Медичний інститут Сумського державного університету

Погорелов М.В. Біомеханічні властивості травмованих кісток щурів різного віку в умовах гіпоосмолярної гіпергідри // Український морфологічний альманах. – 2010. – Том 8, №3. – С. 104-107.

В роботі проведене вивчення механічних властивостей травмованих кісток щурів молодого, зрелого та старчого віку на макро- та мікроструктурному рівнях. Отримані дані свідчать про значне зниження всіх тривіасних показників, ступінь змін яких має залежність як від віку так і від ступеня порушення водно-солевого обміну.

Ключові слова: Репаративний остеогенез, довгі кістки, міцність, мікротвердість.

Погорелов М.В. Biomechanical properties of the different age rats' bone after the trauma and hypoosmolarity overhydration // Ukrainian morphological almanac. – 2010. – Tom 8, №3. – C. 104-107.

In work was studied the mechanical properties of the long bone of young, adult and old rats in macro- and microscopic levels. The obtained data prove that all trivias properties decrease which depends on age and level of the aqua-salts disorders.

Ключевые слова: Репаративный остеогенез, длинные кости, прочность, микротвердость

Pogorelov M.V. Biomechanical properties of the different age rats' bone after the trauma and hypoosmolarity overhydration // Ukrainian morphological almanac. – 2010. – Tom 8, №3. – C. 104-107.

In this article has been studied the mechanical properties of the long bone of young, adult and old rats in macro- and microscopic levels. The dates shown a hight level of mechanical properties decrease which depends on age and level of the aqua-salts disorders.

Key words: Repair osteogenesis, long bones, mechanical properties, microhardness.

Вступ. Фундаментальною властивістю кісткової тканини є її тривіальність, яка забезпечує цілісність кісток при різних видах фізичних навантажень. Із біомеханічних позицій кістка – це матеріал, що працює в основному на стиск-розділення та на згин. Крім того, в скелеті бажане поєднання тривіальністі з низькою масою. Тому задача пошуку максимальної тривіальністі при двох режимах роботи доволі важка. Причиною високої тривіальністі кісток пояснюється їх композиційною будовою, тобто поєднанням в їх структурі різних речовин (еластичного колагену та міцного апатиту кальцію), що забезпечує одночасно високу тривіальність та еластичність [17].

Показники тривіальністі на розрив та стискання характеризують міцність на рівні кістки як органу, що включає в себе не тільки кісткову тканину але й окістя, судини тощо. Для того щоб оцінити тканинний та мікроструктурний рівень тривіальністі дослідженнях зразків в нашій роботі проводили визначення мікротвердості кісткової тканини. Метод визначення мікротвердості використовується для оцінки твердості малих об'ємів матеріалу та фактично є різновидом методу Віккерса (HV) і відрізняється від нього тільки використанням менших навантажень та відповідно меншим розміром відбитка. Головна його перевага полягає в можливості отримання твердості різних фаз та структурних компонентів матеріалу, що неможливо при використанні інших методів [12, 15].

Матеріали та методи дослідження. В експерименті було задіяно 144 білих лабораторних щурів самців трьох вікових груп – молоді, зрілі та старчого віку. Тварини біли розподілені на 2 серії – контрольну (36 особин) та експериментальну (118 щурів). Всім щурям наносився аофізарний дефект середньої третини великотоннажкової кістки стоматологічним бором діаметром 2 мм. Експериментальний серії тварин перед нанесенням дефекту моделювали гіпоосмолярну гіпергідраташі різного ступеню важкості [8]. Щурів виводили з експерименту через 15 та 24 доби після нанесення травми, що відповідає

останнім стадіям регенерації за Корж Н.А. та Делух Н.В. [4].

Розрахунки тривіальністі проводили на 24 добу після травми та вирахали у наступних параметрах: повздовжня сила руйнації зразка (кгс), межа міцності (кгс/мм²), модуль Юнга (Па) та жорсткість поперечного перетину (Н) [5; 17].

Межа міцності кісток на розрив та стиск згідно закону Гука визначається за формулою:

$$\sigma = \frac{P}{S},$$

де σ – напруга при якій руйнується кістка кгс/мм², P – сила, що призвела до руйнування кістки в кгс, S – площа поперечного перетину кістки в мм².

Модуль Юнга – характеризує жорсткість кістки, тобто її здатність протидіяти пружній деформації розтягнення, стиснення. Вихідчи з закону Гука – механічна напруга, що виникає в пружній деформаційній тілі прямо пропорційна відносній деформації:

$$\sigma = E \cdot \varepsilon,$$

де E – модуль Юнга, ε – відносна деформація кістки. Відносна деформація кістки –

$$\varepsilon = \frac{\Delta \ell}{\ell},$$

де $\Delta \ell$ – абсолютна деформація яка вимірюється експериментально. Таким чином модуль Юнга визначається за формулою:

$$E = \frac{\sigma}{\varepsilon} = \frac{P}{S} \cdot \frac{\ell}{\Delta \ell} \text{ (кгс/мм²)}$$

Жорсткість поперечного перетину кістки (Н) визначався за формулою: E^*S , де E – модуль Юнга (кгс/мм²), S – площа поперечного перетину кістки (мм²).

Вивчення мікротвердості проводили на приборі ПМТ-3 на 15 та 24 добу після травми [11]. Перед проведеним дослідженням поверхню кістки зашліфували та фіксували зразок на металевому столику за допомогою епоксидних смол. Визначення числа твердості проводили в місці травми та

на поверхні материнської кістки на віддалені 10 мм від місця травми. Для визначення мікротвердості в досліджуваний зразок під дією навантаження Р вдавлюється алмазна піраміда. В наших дослідах величина навантаження складає 0,1 кгс. Після дії навантаження на поверхні зразка залишається відбиток у вигляді піраміди з квадратною основою. Для визначення числа твердості H ($\text{кг}/\text{мм}^2$) навантаження P ділять на умовну площину бічної поверхні відбитка [9]:

$$HV = 18544 \left(\frac{P}{d^2} \right),$$

де P – навантаження на піраміду, d – діагональ відбитка.

Отримані цифрові дані оброблялися статистично на персональному комп'ютері з використанням пакета прикладних програм [2]. Достовірність розходження експериментальних і контрольних даних оцінювали з використанням критерію Стьюдента, достовірно вважали ймовірність помилки менше 5% ($p \leq 0,05$).

З метою виявлення факту й ступеня впливу контролюваних факторів (ступінь гиперідратації і вік тварин) на результатичні ознаки провели двухфакторний дисперсійний аналіз [6, 7].

Результати та їх обговорення. В контрольній серії за наявності патологічного відновлення структури кістки через 24 доби її тривкість залишається меншою, ніж у нетравмованої тканини, що може пояснюватися незавершеним ремоделюванням, яке закінчується через 12-18 місяців під впливом діючих реальних фізичних навантажень. В останній строк спостереження межа міцності на розтягнення складає відповідно віку $4,06 \pm 0,03 \text{ кг}/\text{мм}^2$, $5,17 \pm 0,06 \text{ кг}/\text{мм}^2$ та $3,77 \pm 0,03 \text{ кг}/\text{мм}^2$. Через 24 доби після перелому межа тривкості на стиснення складає відповідно віку

$21,80 \pm 0,08 \text{ кг}/\text{мм}^2$, $16,84 \pm 0,11 \text{ кг}/\text{мм}^2$ та $8,92 \pm 0,05 \text{ кг}/\text{мм}^2$.

Звертає на себе увагу також вікові особливості тривкісних характеристик кісток, що виявляються у значному зменшенні всіх досліджуваних показників у шурів старечого віку. Це можна пояснити зменшенням вмісту апатиту в матриксі та незавершеним утворенням колагенових волокон, що відіграють значну роль у формуванні міцності кісткової тканини. Зміни минеральної цільності та осітопоротичні зміни також можуть відігравати велику роль у зміненні тривкісних параметрів кісток у синіальному віці [16].

В умовах гиперідратації організму відбувається зменшення тривкісних властивостей досліджуваних кісток. Як видно з графіку (рис. 1) межа тривкості на розтягнення і стиснення та модуль Юнга в умовах гиперідрії легкого ступеня змінюються не достовірно. Середній ступінь гиперідратації не викликає змін тривкості на розтягнення в той час як показники міцності на стиснення зменшуються на 10,10% ($p \leq 0,05$) та 10,21% ($p \leq 0,05$). Даний ступінь гиперідрії потомістя призводить до значного зменшення тривкості на розтягнення та стиснення у шурів старечого віку. За умов середнього ступеня гиперідратації межа міцності та модуль Юнга на розтягнення та стиснення зменшуються достовірно в усіх вікових групах. Різниця з контролем складає при цьому від 8,90% ($p \leq 0,05$) до 17,96% ($p \leq 0,01$). При важкому ступені порушення водно-солевого балансу відбувається значне зменшення досліджуваних показників. Так межа міцності на розтягнення зменшується відповідно віку на 17,86% ($p \leq 0,01$), 13,82% ($p \leq 0,05$) та 19,32% ($p \leq 0,01$), різниця з контролем для далого показника при стисненні складає відповідно 19,78% ($p \leq 0,01$), 20,51% ($p \leq 0,01$) та 20,78% ($p \leq 0,01$).

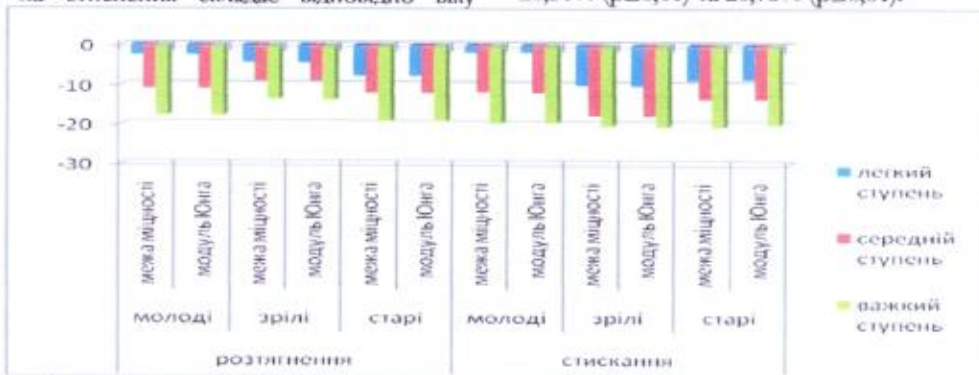


Рисунок 1. Показники тривкості травмованих кісток шурів експериментальної серії через 24 доби після нанесення травми.

Більш значні зміни спостерігаються при вивчені показників тривкості на стиснення. При цьому слід зауважити, що міцність на розтягнення залежить від еластичності кісткової тканини і обумовлюється її органічною складовою, тобто особливостями будови та архітектоніки колагенових волокон, в той час як міцність на стиснення мас залежність від минеральної цільності кісткової тканини [13, 14]. Таким чином більш значне значення зменшення тривкості на стиснення вказує на недостатню минералізацію новоутвореного матриксу та зменшення минеральної цільності материнської кістки. В той же час еластична складова кістки також піддається патологічним змінам, про що свідчить значне падіння тривкості на розтягнення.

Двохфакторний дисперсійний аналіз показав рі-

зноспрямований вплив контролюваних факторів на досліджувані показники тривкості (рис. 2). Як видно з графіку, межа тривкості на стиснення має виражену залежність від віку тварин (сила дії фактору – 54,23%), в той час як фактор ступіню гиперідрії та взаємодії чинників складають лише 24,23% та 17,95%. В той же час фактори віку та ступіню гиперідрії мають майже однакову силу впливу на зміни межі тривкості на розрив – 35,12% та 38,31% відповідно. Сила впливу взаємодії контролюваних факторів при цьому складає 21,34%. Вплив факторів впливу на зміни величини модулю Юнга майже одинаковий і складає для віку 13,32% та 21,12%, для ступіню гиперідрії – 67,23% і 54,86% і для взаємодії чинників – 16,54% та 23,03%. Порівнюючи отримані результати

з даними літератури, слід зауважити, що подібна тенденція залежності тривкості характеристик спостерігається в роботах Сікори В.З. та Бумейстер В.І. при вивчені мішочкі травмованих кісток при різних ви-

дах депідраташ організму [1]. Зважаючи на це можна стверджувати про універсальні механізми порушення репаративного остеогенезу при різних видах порушень водно-сольового баланса.

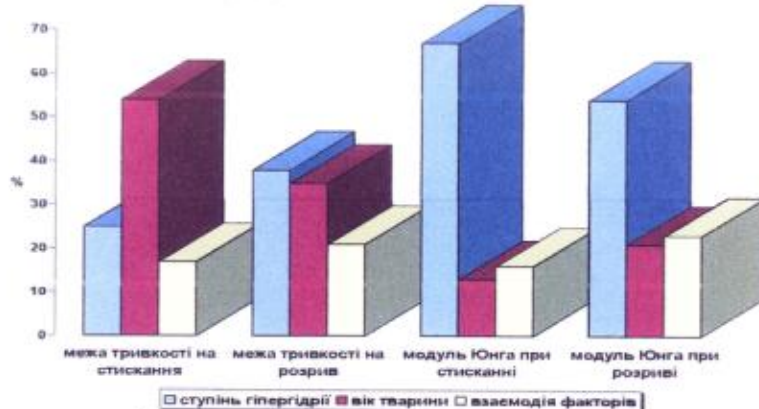


Рисунок 2. Результати двофакторного дисперсійного аналізу впливу контролюваніх факторів на показники тривкості великомілкових кісток експериментальної серії тварин в різні строки репаративної регенерації.

У тварин контрольної серії через 15 діб після нанесення травми в місці дефекту відбувається формування молодої незрілої кісткової тканини та остеоїла, які мають низьку минеральну щільність [3]. Незначна минералізація та наявність органічної складової обумовлюють виникнення глибокого відбитку піраміди під час дослідження, діагональ якої дорівнює від 0,089 мм та 0,081 мм у молодих та зрілих шурів до 0,091 мм у тварин старчого віку (число твердості – $23,42 \pm 0,05$ кгс/мм², $28,26 \pm 0,11$ кгс/мм² та $22,39 \pm 0,07$ кгс/мм² відповідно). Через 24 доби після травми відбувається зростання числа твердості яке складає відповідно віку $36,78 \pm 0,12$ кгс/мм², $38,94 \pm 0,08$ кгс/мм² та $41,30 \pm 0,06$ кгс/мм². Слід зауважити значне зменшення твердості у шурів старчого віку, що є показником функціональної неспроможності новоутвореної тканини в даній віковій групі і корелює з дослідженнями Peter X. Ma та співавт [18].

На віддалених від дефекту ділянках також спостерігаються значні зміни мікротвердості дослідюваних кісток. Зниження твердості відбувається через 15 діб після травми і поглиблюється на 24 добу, що відповідає початку інтенсивної минералізації та коремлю з результатами дослідження репаративного остеогенезу методом РЕММА. Число твердості через 15 діб після травми $160,41 \pm 0,46$ кгс/мм² у молодих шурів, $206,04 \pm 0,75$ кгс/мм² – у зрілих і $151,37 \pm 0,32$ кгс/мм² – у старих. Через 24 доби показник твердості струмко зменшується і дорівнює відповідно віку $100,29 \pm 0,38$ кгс/мм², $110,31 \pm 0,19$ кгс/мм² та $128,42 \pm 0,29$ кгс/мм². Значне відмінності у показниках твердості кістки на віддалені від дефекту пояснюються зміною вмісту кальцію та фосфору в цих ділянках та вказують на значну роль минерального компонента у формуванні мікротвердості. Слід відмітити стрімкий рівень падіння твердості у молодих і зрілих тварин і незначні зміни показника у шурів старчого віку. За даними багатьох авторів, обмінні процеси в кістковій тканині в цілому і в регенераті зокрема значно змінюються з віком, що може бути причиною даного феномену [10]. З іншого боку, отримані дані коремлють з результатами РЕММА про незначну реакцію кальцію та фосфору на віддалених ділянках кістки у тварин старчого віку.

Гіпоосмолярна гіпергідрія легкого ступеню не викликає достовірних змін числа твердості як в дефекті, так і на віддалених ділянках травмованих кісток у молодих та зрілих тварин. Різниця з контролем у

шурів старчого віку складає в дефекті $8,65\%$ ($p \leq 0,05$) і на віддалених ділянках кістки $6,54\%$ ($p \leq 0,05$) через 15 діб після травми. Через 24 доби різниця з контролем складає відповідно $7,68\%$ ($p \leq 0,05$) та $9,47\%$ ($p \leq 0,05$). Середній ступінь гіпергідрати призводить до достовірного зниження твердості в усіх дослідюваних ділянках. Так число твердості молодої новоутвореної кістки через 15 діб після травми складає від $19,35 \pm 0,06$ кгс/мм² до $21,82 \pm 0,11$ кгс/мм², що на $6,78\%$ ($p \leq 0,05$) та $13,57\%$ ($p \leq 0,05$) менше за аналогічний показник контрольної групи. Через 24 доби після нанесення травми за умов гіпергідрії середнього ступеня на віддалених ділянках кісток число твердості є меншим за контроль в усіх вікових групах. Різниця з контролем при цьому складає відповідно $8,23\%$ ($p \leq 0,05$), $8,31\%$ ($p \leq 0,05$) та $14,85\%$ ($p \leq 0,05$).

На віддалених ділянках травмованої кістки спостерігається значне зниження твердості, ступінь якого перевищує показники не травмованих кісток в аналогічному експерименті. Значне зменшення числа твердості можна пояснити зміною метаболізму кісткової тканини під час репаративної регенерації, що підсилюються за умов порушення ВЕБ. Різниця з контролем в умовах середнього ступеня гіпергідрії через 15 діб після травми складає відповідно віковим групам $7,32\%$ ($p \leq 0,05$), $7,55\%$ ($p \leq 0,05$) та $9,56\%$ ($p \leq 0,05$). Через 24 доби після перелому спостерігається зростання різниці з контролем, що може бути свідченням глибокого порушення метаболізму кістки в умовах зрушень ВЕБ. Так число твердості на віддалених ділянках травмованих кісток менше за контроль відповідно віку на $9,61\%$ ($p \leq 0,05$), $8,42\%$ ($p \leq 0,05$) та $12,75\%$ ($p \leq 0,05$). Важкий ступінь гіпоосмолярної гіпергідрії призводить до стрімкого зменшення числа твердості як новоутвореної так і "материнської" кістки травмованого органу. Найбільша різниця з контролем спостерігається у тварин старчого віку і складає через 15 діб $18,96\%$ ($p \leq 0,01$) і $15,74\%$ ($p \leq 0,05$) та через 24 доби – $28,95\%$ ($p \leq 0,01$) і $17,02\%$ ($p \leq 0,01$). Таким чином, гіпоосмолярна гіпергідрія призводить до зменшення твердості кісткової тканини регенерату та неушкодженої компактної речовини, ступінь якого прямо пропорційний до важкості порушення ВЕБ.

Метод двофакторного дисперсійного аналізу показав різну силу впливу контролюваніх чинників на ступінь зміни числа твердості в дефекті та на не-ушкоджених ділянках травмованих кісток (рис. 3).

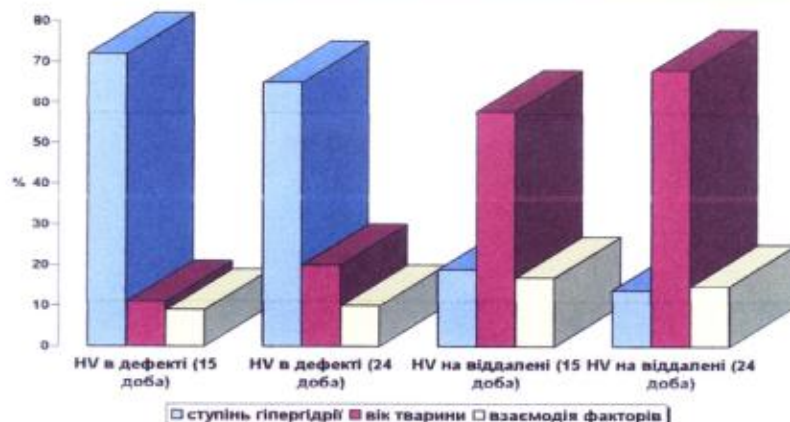


Рисунок 3. Результати двофакторного дисперсійного аналізу впливу контролюваних факторів на число твердості (HV) в різних ділянках великомолкових кістках експериментальних тварин в різні строки репаративної регенерації.

Так сила впливу ступеню гіпергідрії переважає при аналізі показників твердості новоутвореної кістки в зоні травмій (спла впливу через 15 та 24 дні відповідно 72,1% та 65,9%). При цьому сила впливу вікового фактору є достовірною але незначною – 11,32% та 20,94%. При аналізі сили впливу контролюваних факторів на твердість кістки у віддалених ділянках травмованих кісток, спостерігається значна перевага чинника віку, сила впливу якого складає відповідно строкам спостереження 58,05% та 68,72%. В даному випадку сила дії фактору віку складає лише 19,54% та 14,17%. Аналізуючи отримані результати, можна зробити висновок щодо значного впливу порушень ВЕБ на процеси формування нової кісткової тканини в ретенераті і менш значний вплив даного чинника на сформовану кістку. В той же час процеси регенерації кістки є менш залежними від віку ніж будова "материнської" кістки, яка сформована відповідно до вікових навантажень і особливостей обміну.

Таким чином, не зважаючи на відновлення структури ушкоджених ділянок кістки, тривисні показники та мікротвердість кісткової тканини залишається менші ніж у інгактичних шурів. Гіпосомолярна гіпергідратация призводить до значного зменшення вивчених показників та має залежність як від віку шурів, так і від ступеню гіпосомолярної гіпергідратациї.

ЛІТЕРАТУРА:

- Бумейстер В.І. Динаміка змін тривисніх властивостей травмованої кістки шурів під впливом дієрататів організму// Бумейстер В.І. // Тавріческий медико-біологічний вестник.-2009.-T.12, №1(45).-С.123-126.
- Васильєв А.Н. Научные вычисления в MS Excel/ Васильев А.Н.-Вильямс. - 2004. - 512 с.
- Кількісний мікроаналіз кальцій-фосфорного обміну кісткової системи після остеотомії / Сікора В.З., Погорелов М.В., Бумейстер В.І., Ткач Г.Ф. // Світ медицини та біології. - №3. - 2007. - С. 36 – 38
- Корж Н.А. Репаративная регенерация кости: современный взгляд на проблему. Стадии регенерации [Н.А. Корж, Н.В. Ледух] // Ортопедия, травматология и протезирование. - 2006. - №1. - С. 76-84.
- К методику определения модуля упругости костной ткани/ А.Е. Лоскутов, А.В. Красовский, А.Е. Олейник [и др.] // Ортопед травматол. – 2000. – №3. – С. 28-31.
- Лапач С.Н. Статистические методы в медико-биологических исследованиях с использованием Excel/ Лапач С.Н., Чубенко А.В., Бабич П.Н. - К: МОНУСІН, 2000. – 320 с.
- Макарова Н.В. Статистика в Excel. Учебное пособие / Н.В. Макарова, В.Я. Трофимен - М: Финансы и статистика. - 2002. – 368 с.
- Методика експериментального відтворення водно-електролітичних розладів/ В.З. Сікора, Г.Ф. Ткач, В.І. Бумейстер [та ін.] / Матеріали науково-практичної конференції "Морфологічний стан тканин і органів систем организму в нормі та патології", Тернопіль 10-11 червня 2009 р.-С.160-161.
- Парішев С.Н. Мікротвердість матеріалів / С.Н. Парішев, Н.Ю. Полозенко // ВолгГТУ, Волгоград, 2004. – 15 с.
- Прочан В.Н. Возрастные особенности ультраструктуры минерала плечевой кости у белых крыс при нанесении дырчатого дефекта большеберцовой кости / В.Н. Прочан/ Матеріали наук. конгресу «IV Міжнародні Пироговські читання», м. Вінниця, 2-5 червня, 2010 р. – С. 99
- Ткачук С.А. Мікротвердість та вміст макрослементів у середині діафізу кісток грудної кінцівки в постнатальному періоді онтогенезу курей батьківського стада бойлерів КРОСУ СОВВ-500 / С.А. Ткачук // Наукові доповіді НАУ. – 2008. - №14 (12). – С. 1–10
- Evaluation of Microhardness of Cortical Bone / Sakamoto M., Murata M., Ikeda S., Sakai J. [et all] // Proceedings of Annual Meeting of Japanese Society for Orthopaedic Biomechanics. – 1998. – Vol. 19. – P. 291 – 296
- Microhardness of bone at the interface with ceramic-coated metal implants / Stea S., Visentini M., Savarino L., Ciapetti G // Journal of biomedical materials research. – 1995. - vol. 29, №6. – P. 695-699
- Surface analysis and effects on interfacial bone microhardness of collagen-coated titanium implants: a rabbit model / Morra M., Cassinelli C., Meda I., Fini M [et all] // Int J Oral Maxillofac Implants. – 2005. - #20(1). – P. 23 – 30
- Stephen C. C. Bone mechanics handbook / C.C. Stephen. - Informa Health Care, 2001. – 980 p.
- The role of mineralization and organic matrix in the microhardness of bone tissue from controls and osteoporotic patients / G. Boivina, Y. Balaa, A. Doublier, D. Farlaya [et all] // Bone. – 2008. - Vol 43, Issue 3. – P. 532 – 538
- Yuehuei H. An. Mechanical testing of bone and the bone-implant interface / Yuehuei H. An, Robert A. Draughn. - CRC Press, 2000. – 624 p.
- Peter X. Ma Scaffolding in tissue engineering // X. Ma Peter, J. Elisseeff// Taylor & Francis Group, 2006– 638 p.